まくらぎ配置が列車・軌道連成応答に及ぼす影響

新潟大学大学院自然科学研究科学生員木村 隆二新潟大学工学部建設学科正会員阿部 和久新潟大学自然科学研究科正会員紅露 一寛

1. はじめに

レールのまくらぎ間隔は一定ではなく,バラツキを有していることが知られている. 既往の研究ではまくらぎ間隔の不均一性が軌道の動的挙動に与える影響が検討されており,まくらぎ間隔が均一な軌道よりバラツキがある軌道の方が共振周波数と振幅が小さくなることがわかっている¹⁾. また,波動透過率に有効なまくらぎのバラツキも検討されており,まくらぎ間隔の最適化が図られている²⁾. 本研究ではこれらを踏まえ,最適化されたまくらぎ間隔を有する軌道と,均一なまくらぎ間隔を有する軌道と,均一なまくらぎ間隔を有する軌道と,均一な較し,その有効性を検討する.

2. 走行車輪を考慮した走行車輪・軌道連成モデル本研究で対象とする走行車輪・軌道連成モデルを図1に表す、走行車輪を質点、走行車輪とレールの接触をバネで表し、レールとまくらぎ間を軌道パッド、まくらぎと道床間を防振パッドで構成する。なお、道床は剛体とし、レールはまくらぎによって離散支持されているものとする。図1において、Pは上載荷重、 M_w は車輪質量、 M_w は縦方向の車輪変位、 M_w 、 M_w はそれぞれ接触バネのバネ定数と減衰係数、 M_b は車輪直下のレール変位、 M_v 、 M_v は軌道パッドのバネ定数と減衰係数、 M_s はまくらぎ質量、 M_v は軌道パッドのバネ定数と減衰係数となっている。

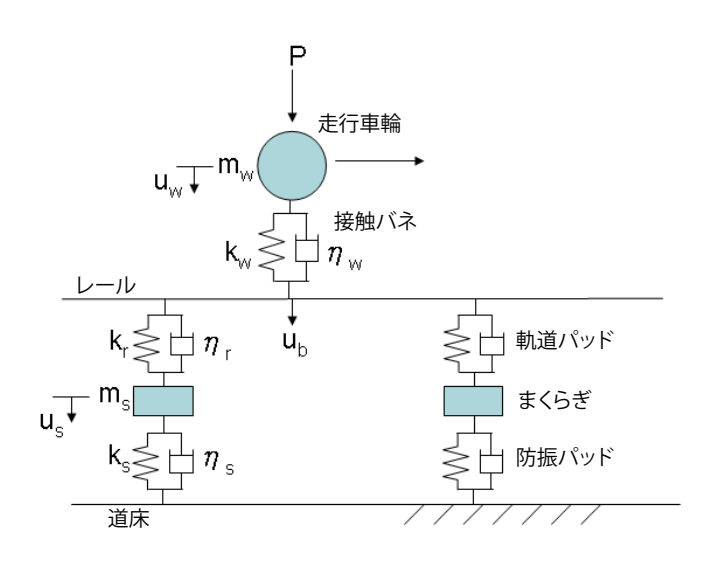


図1 走行車輪・軌道連成モデル

3. 解析手法

レールの運動方程式は次式で与えられる.

$$[\mathbf{K}]\{\mathbf{u}\} + [\mathbf{M}]\{\ddot{\mathbf{u}}\} = F_w\{\mathbf{N}(x_w)\} - \{\mathbf{F_r}\}$$
(1)

ここで N はレールたわみの補間関数, x_w は車輪位置, F_w は車輪とレールの接触力, F_r は軌道パッドの作用力である. 車輪とまくらぎの運動方程式はそれぞれ次式で与えられる.

$$m_w \ddot{u}_w + F_w = P \tag{2}$$

$$m_s \ddot{u}_s - F_r = o \tag{3}$$

また、車輪直下のレール変位 u_b は、レールたわみu により次式で与えられる。

$$u_b = [\mathbf{N}(\mathbf{x}_{\mathbf{w}})]\{\mathbf{u}\}\tag{4}$$

車輪とレールの接触力 F_w , 軌道パッドの作用力 F_r , 防振パッドの作用力 F_s は, それぞれ次式で与えられる.

$$F_w = k_w(u_w + r - u_b) + \eta_w(\dot{u}_w + \dot{r} - \dot{u}_b)$$
 (5)

$$F_r = k_s(u - u_s) + \eta_s(\dot{u} - \dot{u}_s) \tag{6}$$

$$F_s = k_s u_s + \eta_s \dot{u}_s \tag{7}$$

ここで,r はレール表面の凹凸である.

上記の式に Newmark 法による時間積分を適用して時刻歴 応答を求める.

4. 解析条件

解析での各種物性値を表 1 に示す。まくらぎ本数は 200 本とし、全長約 120m の軌道で解析を行った。解析は均一なまくらぎ間隔のものと最適化されたまくらぎ間隔 20 のものについて行う。最適化軌道では 0.65m のまくらぎ間隔を 5 区間の計 10 区間のまくらぎ間隔を 5 区間の計 10 区間のまくらぎ間隔を 1 サイクルとし、199 区間分繰り返している。均一な場合、まくらぎ間隔は 0.6m とする。以下では、199 区間あるまくらぎスパンのうち $96 \sim 105$ 区間での応答について検討する。なお、最適化した軌道において、 $96 \sim 100$ 区間は 0.65m のまくらぎ間隔、 $101 \sim 105$ 区間は 0.55m のまくらぎ間隔となっている。また、レール表面の凹凸はレール表面凹凸スペクトルを逆Fourier 変換して作成した。本解析では、走行速度が 30km/s の下、10 パターンのレール表面凹凸で応答を求め、それらの平均値を解析結果とした。

Key Words: まくらぎ配置,振動応答,連成解析

連絡先: 950-2181 新潟市西区五十嵐二の町 8050 番地 TEL 025 (262) 7028 FAX 025 (262) 7021

表 1 物性値	
まくらぎ本数	200
曲げ剛性 [N・ m^2]	4.04×10^6
車輪質量 [kg]	350
まくらぎ質量 [kg]	100
接触バネ定数 [N/m]	2000×10^6
軌道パッドバネ定数 [N/m]	110×10^{6}
軌道パッド減衰係数 [N/m・s]	100×10^{3}
防振パッドバネ定数 [N/m]	50×10^{6}
防振パッド減衰係数 [N/m・s]	50×10^{3}
上載荷重 [kg]	68600

5. 解析結果

車輪走行速度 [m/s]

輪重応答の解析結果を図2に示す.輪重応答は,均一な軌道に比べ最適化した軌道では1000Hz付近で減少しており,まくらぎ間隔の変化が走行車輪に影響を与えていることがわかる.次に,まくらぎスパン中央におけるレール変位加速度応答の解析結果を図3~5に示す.図3は96区間目(0.65mのまくらぎ間隔)の応答,図4は最適化したまくらぎ間隔1サイクルの中央にあたる100区間目の応答,図5は104区間目(0.55mのまくらぎ間隔)の応答となっている.いずれの結果も,最適化した軌道の応答は均一な軌道の応答よりも低減されていることが確認できる.図3と図5ではそれぞれ周波数1000Hzより少しずれた点で振幅が卓越している.これは長いまくらぎ間隔では共振周波数が低くなり,短いまくらぎ間隔では共振周波数が高くなるためで,図3では0.65mのまくらぎ間隔の応答が,図5では0.55mのまくらぎ間隔の応答が,図5では0.55mのまくらぎ間隔の応答特性が支配的になっているものと考えられる.

30

6. おわりに

本研究ではまくらぎ配置が走行車輪・軌道連成系の応答に及ぼす影響について調べた.最適化したまくらぎ間隔を有する軌道では、均一なまくらぎ間隔の軌道よりも応答振幅が小さくなることがわかり、最適化したまくらぎ間隔の有効性が認められた.なお、実際の軌道ではまくらぎ間隔は均一ではなく、ランダムなバラツキを有している.よって、ランダムなまくらぎ間隔を有する軌道の連成応答についても検討する必要がある.

参考文献

- 1) Abe,K., Shimizu,S., Aikawa,A. and Koro,K.:Theoretical study on a measuring mehtod of rail axial stress via vibration modes of periodic track, WCRR2011
- Batjargal, S., Abe, K. and Koro, K.: Optimization of sleeper spacing for reduction of wave transmission, STECH2012

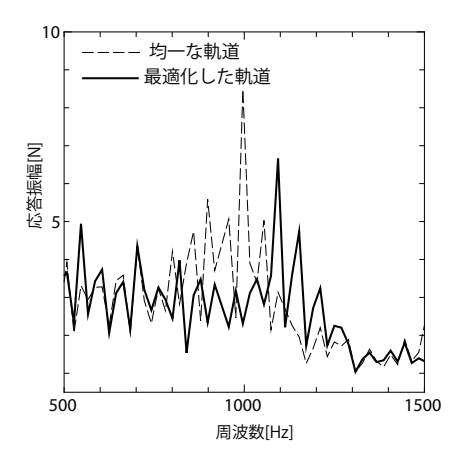


図2輪重応答

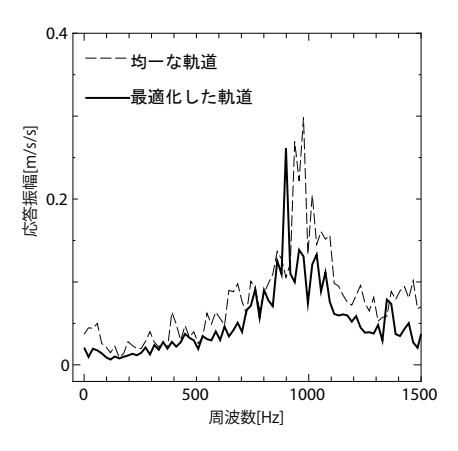


図 3 96 区間目 (まくらぎ間隔 0.65m) の応答

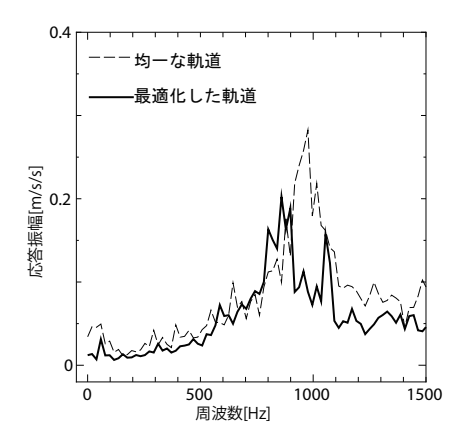


図4 100 区間目の応答

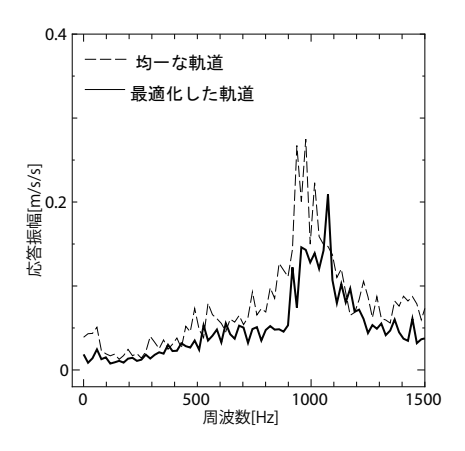


図 5 104 区間目 (まくらぎ間隔 0.55m) の応答